



## اثر خشک کردن انجمادی و پاششی بر ویژگی‌های آنتیاکسیدانی و ریخت‌شناسی عصاره سیر ریزپوشانی شده

سمیه لقمانی فر<sup>۱\*</sup>، لیلا روزبه نصیرایی<sup>۱</sup>، حمیدرضا نوری<sup>۲</sup>، سارا جعفریان<sup>۱</sup>

<sup>۱</sup>گروه علوم و صنایع غذایی، دانشگاه آزاد اسلامی واحد نور، نور، مازندران، ایران

<sup>۲</sup>گروه ایمونولوژی، دانشگاه علوم پزشکی بابل، بابل، مازندران، ایران

تاریخ دریافت: ۱۳۹۸/۰۱/۲۶؛ تاریخ پذیرش: ۱۳۹۸/۰۱/۰۵

### چکیده

سابقه و هدف: بر اساس مطالعات اپیدمیولوژیک بین مصرف مواد غذایی با منشأ گیاهی و مزایای سلامت‌بخشی رابطه مستقیم وجود دارد. ترکیبات حاوی سولفور در خانواده سیر از مهم‌ترین مواد زیست فعال گیاهی موجود در رژیم غذایی با ویژگی‌های سلامت‌بخشی هستند. آلیسین موجود در گیاه سیر می‌تواند به عنوان مکمل غذایی و جهت پیشگیری از بیماری‌ها مورد استفاده قرار گیرد. در حالی‌که این ترکیب فرار، ناپایدار و واکنش‌پذیر بوده و به آسانی باعث تحریکات موکوس معده انسان می‌شود. همچنین بوی نامطبوع این ترکیبات سبب عدم تمايل به استفاده از سیر است. ریزپوشانی یکی از راه‌های پوشاندن عطر سیر و حفظ ترکیبات مؤثر آن می‌باشد. در پژوهش حاضر عصاره سیر با پوشش بتاسیکلودکسترین و نشاسته متخلخل و به دو روش خشک کردن انجمادی و پاششی به منظور محافظت عطر و طعم و ویژگی‌های آنتیاکسیدانی ریزپوشانی شد.

مواد و روش‌ها: در این پژوهش از بتاسیکلودکسترین و نشاسته متخلخل به عنوان ماده دیواره و از روش خشک کردن پاششی و انجمادی جهت ریزپوشانی استفاده گردید. نمونه‌ها از لحاظ ارزیابی حسی، درصد رطوبت، ویژگی‌های آنتیاکسیدانی (قابلیت مهارکنندگی رادیکال آزاد، ظرفیت احیاکنندگی آهن سه‌ظرفیتی و میزان فنل کل)، کارایی ریزپوشانی و ویژگی‌های مورفو‌لوژی مورد بررسی و مقایسه قرار گرفتند.

یافته‌ها: نتایج مقایسه روش خشک کردن بر ویژگی‌های پودر (شکل، کارایی، ویژگی‌های آنتیاکسیدانی و رطوبت) نشان داد که نمونه‌های تهیه شده با روش خشک کردن پاششی ضمن این که از شکل کروی برخوردار بوده و دارای رطوبت کمتری بودند، نسبت به پودر حاصل از خشک کردن انجمادی (بی‌شکل و نامتقارن) راندمان ریزپوشانی بالاتری داشتند و ویژگی آنتیاکسیدانی بیشتری را در خود حفظ نمودند. همچنین بر اساس نتایج ارزیابی حسی نمونه‌های خشک شده با خشک کن پاششی از بهترین میزان پوشش دهی از لحاظ عطر و طعم برخوردار بودند.

نتیجه‌گیری: بررسی ریزپوشانی عصاره سیر با دو روش خشک کردن پاششی و انجمادی و با استفاده از بتاسیکلودکسترین نشان داد میزان ریزپوشانی و کارایی آن نه تنها به غلظت و نوع مواد دیواره، بلکه به روش یا فرآیند ریزپوشانی بستگی دارد. نمونه‌های تهیه شده با خشک کن پاششی نسبت به پودر حاصل از خشک کن انجمادی راندمان ریزپوشانی بالاتری داشته و ویژگی آنتیاکسیدانی بیشتری را در خود حفظ نمودند.

واژه‌های کلیدی: آلیسین، ریزپوشانی، آنتیاکسیدان، خشک کردن پاششی، خشک کردن انجمادی

\* مسئول مکاتبه: loghmanifar\_s@yahoo.com

## مقدمه

کاهش سرعت فراریت، افزایش مقاومت حرارتی، افزایش دوام ویژگی‌های ضد میکروبی و افزایش حفاظت در برابر واکنش‌های اکسایشی آن خواهد شد. سیکلودکسترین‌ها ترکیبات غیررسمی هستند که در دستگاه گوارش جذب نشده و به طور کامل با میکروفلور روده متابولیزه می‌شوند. به علاوه، آلفا، بتا و گاما سیکلودکسترین‌ها به عنوان افروزندهای غذایی توسط سازمان غذا و دارو<sup>۱</sup> (FDA) ایمن در نظر گرفته شدند (۱۱، ۴۲). به دلیل وجود حفره آبگریز در مولکول‌های سیکلودکسترین مواد در کمپلکس به دام افتاده و ترکیباتی را تشکیل می‌دهند. شیمی مولکولی نمایانگر سیستمی با پیچیدگی ساختاری است که سیکلودکسترین در آن میزبان و بستر در آن مهمان هستند و با برهمکنش‌های واندروالسی، برهمکنش‌های آبگریز و پیوند هیدروژنی در کنار هم نگه داشته می‌شوند. این مشخصه‌ها مولکول‌های بتا سیکلودکسترین را به گزینه خوبی برای ریزپوشانی بسیاری از ترکیبات آلی و نیز یک روش عالی برای حفاظت از انسان در برابر تجزیه، تبدیل می‌کنند (۴۳). ریزپوشانی به روش‌های مختلفی از جمله امولسیون سازی، کوآسروسیون<sup>۲</sup>، خشک کردن پاششی، سرد کردن پاششی، خشک کردن انجامدادی، پوشش دادن به روش بستر سیال و اکستروژن صورت می‌گیرد (۵). اساس ریزپوشانی به روش خشک کردن پاششی شامل تهیه امولسیون روغن در آب هسته و دیواره و پاشش آن در هوای گرم محفظه خشک کن می‌باشد. با تبخیر حلال، قطرات هسته در شبکه جامدی از ماده دیواره گرفتار شده و به این ترتیب ریزپسول‌ها تشکیل می‌شوند. با توجه به این که زمان خشک کردن در این فرآیند کوتاه است، دمای هسته چندان افزایش نمی‌یابد، بنابراین می‌توان برای

آلیسین موجود در گیاه سیر می‌تواند به عنوان یک مکمل غذایی و جهت پیشگیری از بسیاری از بیماری‌ها مورد استفاده قرار گیرد. اما آلیسین یک ترکیب فرار، ناپایدار، واکنش پذیر با انحلال پذیری پایین در آب می‌باشد. این ترکیب به آسانی باعث تحریکات موکوس معده انسان شده و در معرض اکسیدان‌ها، نور و حرارت تخریب می‌گردد (۲۳، ۲۵، ۴۴). همچنین بو و طعم نامطبوع آلیسین باعث عدم تمایل به استفاده از آن می‌شود. این موارد عوامل محدود کننده استفاده از آلیسین در صنایع غذایی و دارویی می‌باشند و درنتیجه برای استفاده از آن باید شرایط ویژه‌ای به کار گرفته شود. برای این منظور می‌توان از روش ریزپوشانی (کپسوله کردن) استفاده کرد. ریزپوشانی فرآیندی است که در آن اجزای جامد، مایع و گاز درون کپسول‌های کوچک گنجانده می‌شوند و می‌توانند محتویاتشان را با سرعت کترول شده و تحت شرایط ویژه آزاد سازند. با ریزپوشانی آلیسین با زیست‌پلیمرها، می‌توان ضمن پوشش دهنده مزه و بوی آلیسین مدت زمان ماندگاری محصول را افزایش داد (۳۱، ۱۶).

به دلایل مختلف از جمله کاهش واکنش هسته با عوامل محیطی (نور، اکسیژن و آب)، حفاظت از اکسیداسیون و دهیدراسیون مواد در طول مدت فرآوری و نگهداری، جلوگیری از افت ارزش تعذیب‌های و متابولیکی مواد و حفاظت از برهمکنش‌های نامطلوب با دیگر اجزای مواد غذایی از ریزپوشانی به عنوان یک روش مؤثر برای حفاظت از ترکیبات حساس استفاده می‌شود (۹، ۱۴، ۴). سیکلودکسترین‌ها ساختارهای قندی هستند که اجزای آبگریز را انکپسوله کرده و از اجزای انکپسوله در برابر اکسایش و واکنش‌های تجزیه حرارتی حفاظت می‌کنند (۳۱). بنابراین، ریزپوشانی روغن سیر سبب

بیان کردند که می‌توان مجموعه‌ای از GO/ $\beta$ CD را در فرمول بنده سیستم‌های غذایی مانند سس سالاد و سوسیس پیشنهاد کرد (۲۲). بوفو و رینسیوس (۲۰۰۱) روش‌های مختلف خشک‌کردن انجامدی، پاششی و غلطکی را برای ریزپوشانی روغن حاصل از پرس سرد پرتقال والنسیا با صمغ عربی و نشاسته اصلاح شده بررسی و مقایسه کردند (۸). بر اساس نتایج این محققان پودر حاصل از روش خشک‌کردن انجامدی ویژگی‌های مطلوب‌تری نسبت به پودر بدست آمده از دیگر روش‌های مورد مطالعه از جمله خشک‌کردن پاششی داشت (۸).

در مطالعات قبلی اکثراً از روش خشک‌کن پاششی برای ریزپوشانی سیر استفاده شده و روش انجامدی مورد مطالعه قرار نگرفته است. درنتیجه در این پژوهش عصاره سیر با پوشش بتاسیکلودکسترن و نشاسته متخلخل با دو روش خشک‌کن انجامدی و پاششی کپسوله شدت از لحاظ عطر و طعم و ویژگی‌های آنتی‌اکسیدانی محافظت گردد. جهت مقایسه و دستیابی به بهترین روش، نمونه‌ها از لحاظ ارزیابی حسی، ویژگی‌های آنتی‌اکسیدانی و مورفولوژی مورد بررسی و مقایسه قرار گرفتند.

## مواد و روش‌ها

**مواد و تجهیزات:** ۲-۲-دی‌فنیل-۱-پیکریل هیدرازیل<sup>۱</sup> (DPPH)، معرف فولین سیوکالتیو، استاندارد اسید گالیک، توئین ۸۰، بتاسیکلودکسترن و Sigma Aldrich (Germany) اتانول و اسید آسکوربیک از مرک (Darmstadt, Germany) تهیه شدند. برای تهیه و آماده‌سازی کلیه محلول‌ها از آب دیونیزه استفاده گردید. تجهیزات مورد استفاده شامل

ریزپوشانی مواد حساس به حرارت از آن استفاده کرد (۴۳). از دیگر تکنیک‌های ریزپوشانی، خشک‌کردن انجامدی است. این تکنیک فرآیند آبگیری است که با انجامد مواد و سپس کاهش فشار محیط سبب می‌شود تا آب منجمد شده در ماده مستقیماً از فاز جامد به فاز گازی تصعبید گردد (۱). در این روش عطر و طعم و دیگر موادمغذی عمدتاً بدون تغییر باقی می‌مانند. از آنجایی که خشک‌کردن انجامدی به ماده آسیب کمتری وارد می‌سازد نسبت به سایر روش‌های آبگیری که در دمای بالاتر عمل می‌کنند، یک مزیت به شمار می‌رود (۲۱، ۲۱).

در مطالعه پیلتی و همکاران (۲۰۱۹) به بررسی فرآیند ریزپوشانی روغن سیر در بتا سیکلودکسترن<sup>۲</sup> و ( $\beta$ CD) و ویژگی‌های آنتی باکتریال ترکیب روغن سیر -  $\beta$ CD در برابر اشرشیاکلی و استافیلوکوکوس اورئوس پرداخته شد (۳۱). روش ریزپوشانی، پایداری (Kc) حرارتی روغن سیر را با مقدار ثابت تشکیل (۲۵۳/۷۸ لیتر بر مول برای ترکیب روغن سیر -  $\beta$ CD افزایش داد که تأییدکننده موفقیت فرآیند ریزپوشانی بود. پس از فرآوری حرارتی کمپلکس در ۶۰ درجه سانتی‌گراد برای ۱ ساعت، این ترکیب اثر ضدباکتریایی خود را حفظ نمود. حداقل غلظت مهارکنندگی<sup>۳</sup> (MIC) و نتایج پخش آگار نشان داد که میکروکپسول‌های حاوی ۸۱/۷۳ میلی‌مولار از روغن سیر اثر ضدباکتریایی عالی دارند (۳۱).

خوش طینت و همکاران (۲۰۱۷) شرایط ریزپوشانی کردن روغن سیر<sup>۳</sup> (GO) با بتاسیکلودکسترن را با استفاده از روش سطح پاسخ با سه متغیر و در سه سطح بهینه‌سازی کردند. شرایط بهینه شامل درجه حرارت ۳۵ درجه سانتی‌گراد، نسبت هسته به دیواره ۱۰۰/۸ و نسبت دیواره به حلال ۵/۵: ۱۰۰ بود. آنها

1. Beta-Cyclodextrin
2. Minimum Inhibitory Concentration
3. Garlic Oil

4. 2,2-Diphenyl-1-picrylhydrazyl

ریزپوشانی و خشک کردن امولسیون با استفاده از خشک کن پاششی: نمونه های امولسیون تهیه شده با استفاده از یک خشک کن پاششی آزمایشگاهی (مدل BUCHI B-191) با دمای ورودی ۱۶۵ درجه سانتی گراد، سرعت خوراک دهی ۱۰ میلی لیتر بر دقیقه و فشار ۳۵۰ کیلوپاسکال خشک شدند. به منظور جلوگیری از جذب رطوبت، پودرهای حاصل تا زمان انجام تمامی آزمایشات (به مدت یک هفته) در داخل دسیکاتور و در دمای اتاق نگهداری گردیدند (۲۱، ۲۲).

ریزپوشانی و خشک کردن امولسیون با استفاده از خشک کن انجامدادی: امولسیون های تهیه شده در دمای ۲۰- درجه سانتی گراد به مدت ۲۴ ساعت منجمد شده و سپس به مدت ۴۸ ساعت در دستگاه خشک کن انجامدادی (آلمن، EHRSA) در دمای ۵-۵۰ درجه سانتی گراد قرار گرفتند. امولسیون های خشک شده برای آزمایشات بعدی در ظرف دریسته و در دمای یخچال نگهداری شدند (۲۱، ۲۲).

**انجام آزمون بر روی پودرهای آزمون محتوای رطوبت، تعیین فتل کل، تعیین درصد مهار رادیکال آزاد DPPH، آزمون<sup>۱</sup> FRAP، کارایی ریزپوشانی، ویژگی های مورفولوژی و ارزیابی حسی بر روی کپسول های تولید شده به شرح ذیل انجام شد.**

**محتوای رطوبت:** محتوای رطوبت پودرها به روش وزنی از طریق خشک کردن در آون تحت دمای ۱۰۲ درجه سانتی گراد تا رسیدن به وزن ثابت تعیین گردید.

**آزمون تعیین فتل کل کپسول های تولید شده:** اندازه گیری ترکیبات فتل کل مطابق با روش پتروپولوس و همکاران (۲۰۱۷) انجام شد. برای این منظور ۱ میلی لیتر از استوک ۲ درصد از هر یک از

حمام التراسونیک مدل Elma- آلمان، اسپکترو فتو مترا BUCHI، خشک کن پاششی مدل B- ۱۹۱، خشک کن انجامدادی مدل EHRSA - آلمان، میکروسکوپ الکترونی رو بشی مدل T25 Tescan, Nira2, Lnu آلمان بود.

**عصاره گیری از سیر:** جبهه های سیر پس از پوست گیری شسته شده و در مخلوط کن به قطعات یکدست و ریز تبدیل شدند. سپس به نسبت ۱:۲۱ آب مقطر مخلوط و در حمام فراصوت در زمان ۱۰ دقیقه با دمای ۳۰ درجه سانتی گراد، توان ۴۰ وات و فرکانس ۳۷ هرتز قرار گرفتند. سپس محلول بدست آمده با کاغذ صافی و اتمن شماره یک صاف و درنهایت در خشک کن انجامدادی به پودر تبدیل شد (۳۲).

**تهیه امولسیون:** تهیه امولسیون مطابق با روش وانگ و همکاران (۲۰۱۱) و خوش طینت و همکاران (۲۰۱۷) با کمی اصلاحات انجام شد. عصاره سیر تهیه شده که جهت حفاظت از نور و سایر عوامل تخریب کننده در جای خشک و خنک نگهداری می شد، به عنوان ماده هسته و بتاسیکلودکسترین و نشاسته متخلخل به عنوان ماده دیواره در نظر گرفته شدند. نسبت بتاسیکلودکسترین به نشاسته ۱:۷ بود. عصاره ۱ درصد (انحلال یک گرم عصاره در ۱۰۰ میلی لیتر آب مقطر) به صورت قطره ای به محلول دیواره اضافه گشت و سپس چند قطره تؤین ۸۰ به آن افزوده شد. مخلوط در دمای ۶۰ درجه سانتی گراد به مدت ۲ ساعت قرار گرفت و عملیات هم زدن به کمک همزن مغناطیسی انجام گرفت. نمونه ها سپس با اولتراتورکس (T25، آلمان) در سرعت ۱۰۰۰۰ دور در دقیقه هموژنیزه شدند. نمونه ها پس از اندازه گیری pH، به مدت ۲۴ ساعت در دمای محیط در ظرف دریسته نگهداری شدند (۲۲، ۴۳).

1. Ferric Reducing Antioxidant Power

ترکیبات محسوب می‌شود (۶). بدین منظور مقدار ۱۰۰ میلی‌لیتر از عصاره (۱ میلی‌گرم بر میلی‌لیتر) با ۱ میلی‌لیتر محلول کاری FRAP (شامل ۲۵ میلی‌لیتر استات سدیم، ۲/۵ میلی‌لیتر محلول TPTZ و ۲/۵ میلی‌لیتر محلول کلرید آهن) مخلوط شدند. جذب نمونه پس از ۵ دقیقه قرارگیری در دمای محیط در ۵۹۵ نانومتر خوانده شد. فعالیت احیاکنندگی نمونه‌ها با استفاده از منحنی استاندارد بر حسب میکرومول آهن در میلی‌گرم وزن خشک عصاره محاسبه گردید (۳).

(۷)

آزمون کارایی کپسول‌های تولید شده: برای تعیین مقدار عصاره کپسول شده از مقدار ترکیبات فنولی کل موجود در کپسول استفاده شد. استخراج عصاره از کپسول‌ها طبق روش روبرت و همکاران (۲۰۱۰) انجام شد. برای این منظور ۲۰۰ میلی‌گرم از هر کپسول به ۲ میلی‌لیتر محلول استخراجی شامل مтанول:اسید استیک: آب به ترتیب به نسبت ۵۰:۸:۴۲ (حجمی/حجمی/حجمی) اضافه شده و به مدت یک دقیقه همزده شد و در ادامه تحت امواج فراصوت ۲۰ به مدت ۲۰ دقیقه با شدت ۱۰۰ درصد و فرکانس ۲۰ کیلوهرتز قرار گرفت. بعد از این مرحله سانتریفیوژ کردن در ۵۰۰۰ دور بر دقیقه به مدت ۱۰ دقیقه انجام شد (۳۴). مقدار ترکیبات فنولی کل در محلول رویی با استفاده از روش رنگ سنجی فولین سیوکالتو مطابق با روش ذکر شده تعیین گردید. درصد کارایی کپسوله کردن از رابطه ۲ بدست آمد.

رابطه ۲.

$$\frac{\text{مقدار ترکیبات فنولی ریزپوشانی شده}}{\text{مقدار اولیه ترکیبات فنولی موجود}} \times 100 = \text{کارایی ریزپوشانی} (\%)$$

ویژگی‌های مورفولوژیکی کپسول‌های تولید شده: جهت بررسی ریختشناسی یا مورفولوژی نمونه‌های پودری تولید شده از میکروسکوپ الکترونی رویشی

نمونه‌ها را به ۵ میلی‌لیتر معرف فولین سیوکالتو افزوده و پس از ۵ دقیقه ۴ میلی‌لیتر کربنات سدیم به هر یک اضافه گردید. پس از ۶۰ دقیقه گذاشتن در تاریکی، میزان جذب نوری هر یک از لوله‌ها توسط اسپکتروفتوometر در طول موج ۷۶۵ نانومتر اندازه‌گیری شد. مقدار کل فنل‌ها با استفاده از معادله به دست‌آمده از منحنی استاندارد اسید گالیک محاسبه گردید. نتایج بصورت میلی‌گرم اسید گالیک بر وزن خشک عصاره بیان شد (۳۰).

**آزمون تعیین درصد مهار رادیکال آزاد DPPH کپسول‌های تولید شده:** مطابق با روش سلمانیان و همکاران (۱۳۹۲) و فتفانگ و همکاران (۲۰۱۷) صورت گرفت. در این روش از رادیکالی پایدار ۲-دی‌فنیل-۱-پیکریل هیدرازین (DPPH) به عنوان معرف استفاده می‌شود. DPPH یک رادیکال آزاد پایدار است که بطور گستردۀ برای ارزیابی فعالیت مهارکنندگی رادیکال آزاد توسط ترکیبات ضدآکسایشی مورد استفاده قرار می‌گیرد. جهت انجام آزمون ۱ میلی‌لیتر از محلول هر پودر در غلاظت‌های مختلف به ۱ میلی‌لیتر محلول DPPH متابولی (۴ میلی‌گرم بر میلی‌لیتر) اضافه شده و مخلوط حاصل به شدت همزده شد. بعد از ۶۰ دقیقه تاریکخانه‌گذاری در دمای محیط، جذب نوری نمونه‌ها در طول موج ۵۱۷ nm در مقابل شاهد خوانده شد. آنتی اکسیدان سنتزی (BHA) به عنوان آنتی اکسیدان استاندارد و شاهد (محلول DPPH متابولی تهیه شده به علاوه حلال متابول) بود (۱۵، ۳۷). میزان فعالیت گیرندگی رادیکال<sup>۱</sup> عصاره‌ها مطابق با رابطه ۱ تعیین گردید.

$$\text{رابطه ۱. } \frac{\text{جذب نمونه} - \text{جذب شاهد}}{\text{جذب شاهد}} \times 100 = \text{درصد مهار}$$

**آزمون FRAP کپسول‌های تولید شده:** ظرفیت احیاکنندگی شاخص مهم فعالیت ضدآکسایشی

## 1. Radical scavenging activity

### 2. 2,4,6-Tris(2-pyridyl)-s-triazine

دیواره بتاسیکلودکسترن به دو روش پاششی و انجامدادی در جدول ۱ آورده شده است. با توجه به نتایج میزان حفظ ترکیبات فنلی تحت تأثیر نوع روش خشک کردن بوده است. بالاترین مقادیر ترکیبات فنلی و درنتیجه کارایی ریزپوشانی در تیمار مربوط به خشک کن پاششی مشاهده شد. تفاوت معنی داری ( $P < 0.05$ ) در دو تیمار حاصل از خشک کن انجامدادی و پاششی مشاهده گردید.

نتایج مربوط به میزان مهارکنندگی رادیکال آزاد توسط کپسول های تهیه شده در شکل ۱ آورده شده است. با توجه به نتایج میزان درصد مهارکنندگی تحت تأثیر نوع روش خشک کردن متفاوت بوده است. بالاترین میزان مهارکنندگی ( $50\%$  درصد) در تیمار خشک شده با خشک کن پاششی و در  $5000 \text{ ppm}$  مشاهده شد؛ درحالی که تیمار خشک شده با خشک کن انجامدادی در این غلظت مهارکنندگی بسیار کمتری را از خود نشان داد ( $P < 0.05$ ).

بالا بودن میزان مهار رادیکال آزاد DPPH در این روش ها به میزان بالاتر ترکیبات فنلی و توکوفرولی بر می گردد. قدرت مهارکنندگی عصاره های مختلف به میزان زیادی به تعداد و موقعیت گروه های هیدروکسیل و وزن مولکولی ترکیبات فنولی بستگی دارد (۲۸). نتایج این بررسی همانند سایر پژوهش ها نشان داده است که تیمارهایی که ترکیبات فنلی بالاتری دارند، فعالیت ضد رادیکالی بیشتری را نشان می دهند (۲۵). لازم به ذکر است ترکیبات فنلی به صورت مؤثرتری به عنوان دهنده هیدروژن عمل نموده لذا به عنوان یک آنتی اکسیدان مؤثر عمل می کنند. همچنین با افزایش غلظت و یا درجه هیدروکسیلاسیون ترکیبات فنلی، فعالیت مهار رادیکال آزاد DPPH افزایش می یابد (۱۸).

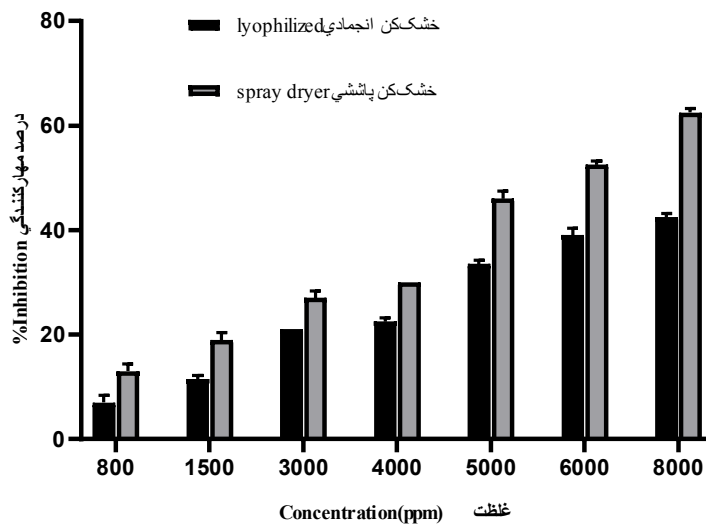
(مدل Tescan,Nira2,Lnu) ساخت کشور جمهوری چک استفاده شد. پس از پوشش دهی نمونه ها با طلا، از سطح خارجی نمونه ها با استفاده از میکروسکوپ الکترونی روبشی در ولتاژ ۱۵ کیلوولت و با بزرگنمایی های متفاوت تصویربرداری شد (۳۱، ۱۹). ارزیابی حسی: کپسول های تولید شده از لحاظ مقبولیت کلی، عطر و بو توسط ۲۳ ارزیاب مورد داوری قرار گرفتند. نتایج حاصل توسط نرم افزار SPSS از لحاظ آماری آنالیز و بهترین نمونه انتخاب شد (۴۵).

**تجزیه و تحلیل داده ها:** برای تجزیه و تحلیل داده ها از نرم افزار 22 SPSS و برای رسم نمودارها از نرم افزار 2007 Excel استفاده گردید. مقادیر IC50 با کمک نرم افزار Graph Pad Prism8 بدست آمد. تمامی نمونه ها در سه تکرار مورد آزمون قرار گرفتند.

## نتایج و بحث

**محتوای رطوبت:** میزان رطوبت پودر حاصل از روش خشک کردن پاششی و خشک کردن انجامدادی در جدول ۱ آمده است همچنین ملاحظه می شود که بطور کلی رطوبت پودر حاصل از روش خشک کردن پاششی کمتر از رطوبت پودر بدست آمده از روش خشک کردن انجامدادی است (جدول ۱). این امر به دلیل تفاوت در مکانیسم حذف آب در هر یک از دو روش است که علاوه بر ساختار ریزکپسول تهیه شده، بر ظرفیت نگهداری آب و لذا میزان رطوبت نهایی پودر اثرگذار خواهد بود (۲).

**آزمون های آنتی اکسیدانی (فنل کل، DPPH و FRAP)** و کارایی ریزپوشانی: نتایج مربوط به میزان ترکیبات فنلی کل براساس میلی گرم اسید گالیک در گرم وزن خشک عصاره کپسول های تهیه شده با



شکل ۱- اثر غلظت کپسول‌های حاوی سیر بر میزان درصد مهارگرایی رادیکال آزاد DPPH

Figure 1. Effect of concentrations of garlic-extract loaded capsules on the DPPH radical scavenging activity

ویژگی آنتی‌اکسیدانی در ارتباط می‌باشد و با افزایش میزان ترکیبات فنلی این ویژگی نیز افزایش می‌یابد؛ لذا کمتر بودن  $IC_{50}$  در تیمار خشک‌کن پاششی امری بدیهی است (۳۳).

تاوارس و همکاران (۲۰۱۸) میزان فنل کل سیر کپسول‌شده را کمتر از میزان فنل کل سیر آزاد گزارش کردند. میزان حفظ ترکیبات فنلی در کپسول با پوشش کیتوزان ۸۳ درصد، پروتئین آب پنیر برابر با  $51/04$  درصد، پوشش کیتوزان ۹۴-پروتئین آب پنیر برابر با  $54/45$  درصد و پوشش کیتوزان ۹۶-پروتئین آب پنیر برابر با  $61/40$  درصد اعلام نمودند (۴۰). کوک و همکاران (۲۰۱۶) علت کاهش میزان ترکیبات فنولی موجود در ریزکپسول‌ها را قرار گرفتن در معرض اکسیژن و درجه حرارت بالا در فرآیند خشک‌کردن پاششی بیان نمودند (۲۴).

تسا و همکاران (۲۰۱۰) ویژگی ضدآکسایشی کمپلکس دربرگیرنده پائنوں با بتاسیکلودکسترن را به روش DPPH بررسی و نشان دادند که ریزپوششی پائنوں با بتاسیکلودکسترن توانایی آن در حذف رادیکال DPPH را بهبود می‌بخشد و علت آن به اثر

نجفی و همکاران (۲۰۱۱) به بررسی ماندگاری روغن هل در میکروکپسول‌های تهیه شده از نشاسته اصلاح شده و پودر شیرخشک بدون چربی با دو روش خشک‌کردن پاششی و انجامدی پرداختند. آنها به این نتیجه رسیدند که بقای ماده معطره هل در پودر حاصل از خشک‌کن انجامدی کم بوده؛ در حالی که در میکروکپسول‌های بدست آمده از خشک‌کن پاششی به نوع ماده دیواره و فرآیند خشک‌کردن بستگی دارد (۲۹). عموماً برای مقایسه فعالیت ضدرادیکالی عصاره‌های مختلف از فاکتوری تحت عنوان  $IC_{50}$  استفاده می‌گردد. طبق تعریف  $IC_{50}$  به غلظتی از عصاره گفته می‌شود که در آن  $50$  درصد از رادیکال آزاد DPPH موجود در محیط واکنش مهار شوند. بنابراین هرچه این غلظت کمتر باشد، نشان دهنده فعالیت آنتی‌رادیکالی بالاتر است. نتایج مربوط به مقادیر  $IC_{50}$  در مطالعه حاضر در جدول ۱ آورده شده است. همان‌گونه که انتظار می‌رود، کمترین مقادیر مربوط به تیمار خشک‌کن پاششی ( $\mu\text{g}/\text{ml}$ )  $IC_{50}$  (۵۹۴۲) و بیشترین مقادیر مربوط به تیمار خشک‌کن انجامدی ( $10075 \mu\text{g}/\text{ml}$ ) بود. میزان ترکیبات فنلی با

(P<0.05). در روش FRAP ترکیبات آنتی اکسیدانی با کمپلکس  $\text{Fe}(\text{TPTZ})^{+3}$  واکنش می‌دهند و کمپلکس آبی رنگ فروس  $\text{Fe}(\text{TPTZ})^{+2}$  را در محیط اسیدی ایجاد می‌کنند (۳۸). تان و همکاران (۲۰۱۵) قدرت احیاکنندگی قابل توجه پلی ساکارید حاصل از ریشه گیاه *Dipsacus asperiodes* را به حضور گروههای هیدروکسیل در ساختار پلی ساکارید نسبت دادند که می‌تواند در احیا  $\text{Fe}^{3+}$  به  $\text{Fe}^{2+}$  شرک نماید (۳۹).

متقابل گروه هیدروکسیل بتاسیکلودکسترین و پائونول و تشکیل پیوند هیدروژنی بین مولکولی نسبت داده شد (۴۱).

نتایج مربوط به میزان قدرت احیاکنندگی آهن سه ظرفیتی براساس میلی‌مول آهن در گرم وزن خشک کپسول‌های تهیه شده در جدول ۱ آورده شده است. با توجه به نتایج میزان قدرت احیاکنندگی یون آهن تحت تأثیر نوع روش خشک‌کردن بوده است و بالاترین مقادیر قدرت احیاکنندگی در تیمار خشک شده با خشک‌کن پاششی (۳۲/۱۹) مشاهده شد.

جدول ۱- میزان رطوبت، فنل کل، کارایی درونپوشانی،  $\text{IC}_{50}$ ، قدرت احیاکنندگی آهن سه ظرفیتی کپسول‌های محتوی عصاره سیر تولید شده به روش خشک‌کن پاششی و خشک‌کن انجمادی

Table 1. Moisture content, total phenolic content, efficiency, half-maximal inhibitory concentration ( $\text{IC}_{50}$ ), ferric reducing antioxidant power (millimoles  $\text{Fe}^{3+}$  per gram dry weight of extract) of capsules containing garlic extract with  $\beta$ -cyclodextrin wall by spray and freeze drying methods

نمونه	Sample	خشک‌کن پاششی	خشک‌کن آزاد سیر	عصاره آزاد سیر	خشک‌کن پاششی	خشک‌کن کل	Moisture content (%)	مقدار رطوبت (%)
		S.D.	F.D.	Free Garlic Extract			Total phenolic content	
		1.1±0.01 <sup>a</sup>	1.81±0.09 <sup>b</sup>	-			Karaii Dronboushani	
		80.61% <sup>a</sup>	0.34±0.04 <sup>b</sup>	0.18±0.06 <sup>c</sup>	43.04% <sup>b</sup>		Encapsulation efficiency	
		5942 <sup>b</sup>		10075 <sup>c</sup>	1378 <sup>a</sup>		$\text{IC}_{50}$	
		0.93		0.97	0.97		R-squared	
		32.19±5.18 <sup>c</sup>	27.31±3.78 <sup>d</sup>	58.17±0.08 <sup>b</sup>			Ferric reducing antioxidant power (FRAP)	قدرت کاهش یون‌های آهن سه ظرفیتی

حرروف کوچک متفاوت بیانگر اختلاف آماری معنی‌دار (P<0.05) می‌باشد.

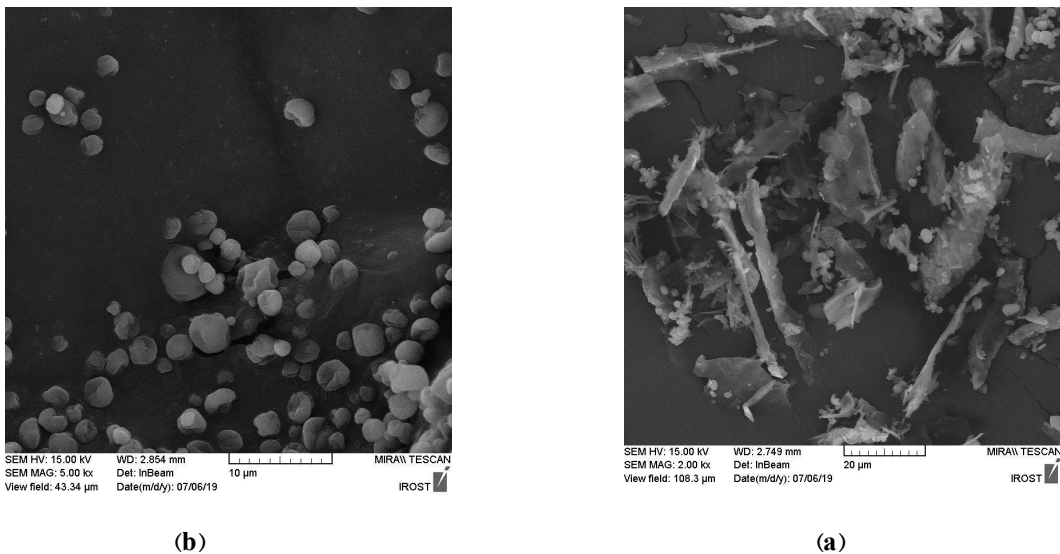
\* Small different letters indicate a statistically significant difference (P<0.05).

\* S.D. و F.D. به ترتیب بیانگر نمونه خشک شده با خشک‌کن پاششی و انجمادی می‌باشند.

S.D. and F.D. indicate dried samples produced by spray and freeze dryer, respectively.

بر ساختار ذرات می‌دهند (۲۰). یکی از ویژگی‌هایی که می‌توان با گرفتن عکس‌های میکروسکوپی به آن پی برد، شرایط سطوح خارجی میکروسکوپی کپسول‌های تولید شده با خشک‌کن پاششی و انجمادی و بررسی یکنواختی یا وجود فرورفتگی‌ها بر سطح آنها می‌باشد (۲۰، ۳۶).

بررسی ساختار کپسول‌های میکروسکوپ الکترونی روشنی: ساختار کپسول‌های به کمک تصویر میکروسکوپ الکترونی بررسی و در شکل ۲ و ۳ نشان داده شده است. مطالعات مورفولوژی ذرات پودرهای خشک شده، دیدگاه‌های ارزشمندی را نسبت به تأثیر شرایط خشک‌کردن امولسیون‌ها و عوامل شیمیایی و فیزیکی



شکل ۲- ریزنگاشت میکروسکوپ الکترونی از نمونه تولید شده با دیواره بتاcyclodکسترین و نشاسته توسط  
الف) خشک کن انجامدی و ب) خشک کن پاششی

Figure 2. Scanning electron microscope images of samples by  $\beta$ -cyclodextrin and starch wall produced by  
a) freeze dryer, and b) spray dryer

ترکیب مواد دیواره‌ای و پارامترهای خشک کردن، بلکه به اندازه قطر ذرات امولسیون نیز بستگی دارد (۲۷). همان‌طور که در تصاویر مشاهده می‌شود، هنگامی که از بتاcyclodکسترین جهت ریزپوشینه کردن عصاره سیر استفاده شد، ذراتی کروی با کمترین فرورفتگی‌های سطحی و چین خورده‌گی ایجاد شد. این یافته مشابه تحقیق ژو و همکاران (۲۰۱۴) و ژانگ و همکاران (۲۰۱۵) و تأییدی بر تشكیل کمپلکس دربرگیرنده می‌باشد. نتایج دلالت بر تأثیر سیر بر ایجاد آشفتگی در بلورهای تجمعی بتاcyclodکسترین می‌باشد که طی فرآیند تشكیل کمپلکس دربرگیرنده، می‌تواند عمیق‌تر شود. در تحقیق ژانگ و همکاران (۲۰۱۵) تصاویر تهیه شده با بتاcyclodکسترین نتایج مشابهی با تحقیق حاضر در برداشت (۴۶، ۴۷). براساس تحقیقات انجام شده، مهم‌ترین عوامل موثر بر مورفولوژی پودرهای تولید

بر اساس تصاویر میکروسکوپ الکترونی از ریزکپسول‌های تهیه شده در دو روش خشک کردن با استفاده از خشک کن پاششی پودرهایی با ساختار کروی حاصل شد (شکل ۲)؛ در حالی که پودرهای حاصل از خشک کن انجامدی ساختار شیشه‌ای شکل و نامنظم داشتند (شکل ۳). ریزساختار نامتقارن پودر خشک کن انجامدی احتملاً به علت محتوی بالای رطوبت (جدول ۱) پودرهای بدست آمده می‌باشد. ساختار نامتقارن پودرهای حاصل از خشک کن انجامدی و ساختارهای کروی پودرهای تولیدی از خشک کن پاششی طی فرآیند از دست دادن آب، مولکولهای به دام افتاده را از اکسیژن و گرمای محافظت می‌کنند (۳۵). ساختار نامتقارن پودر حاصل از خشک کن انجامدی که ناشی از رطوبت بالاتر آن در این روش است، می‌تواند بر راندمان ریزپوشانی و بویژه بازداری روغن در درون کپسول نیز مؤثر باشد. تشكیل فرورفتگی‌های سطحی در نمونه‌هایی که توسط خشک کن پاششی خشک می‌گردند، نه تنها به

حسی می‌باشد و دیواره به خوبی توانسته عطر و بوی سیر را پوشاند.

### نتیجه‌گیری

بررسی ریزپوشانی عصاره سیر با دو روش خشک‌کن پاششی و انجامدی و با استفاده از بتاسیکلودکسترین نشان داد میزان ریزپوشانی و کارایی آن نه تنها به غلظت و نوع مواد دیواره، بلکه به روش یا فرآیند ریزپوشانی بستگی دارد. نمونه‌های تهیه شده با روش خشک‌کردن پاششی خمن برخورداری از شکل کروی و میزان رطوبت کمتر از راندمان ریزپوشانی بالاتری نسبت به پودر حاصل از خشک‌کن انجامدی (بی‌شکل و نامتقارن) برخوردار بودند و ویژگی آنتی‌اکسیدانی بیشتری را در خود حفظ نمودند. همچنین با توجه به نتایج ارزیابی حسی می‌توان نتیجه‌گیری کرد که خشک‌کن پاششی در پوشاندن عطر و طعم سیر بطور موفق‌تری عمل می‌کند.

### منابع

1. Abdelwahed, W., Degobert, G., Stainmesse, S., and Fessi, H. 2006. Freeze-drying of nanoparticles: formulation, process and storage considerations. *Advanced Drug Delivery Reviews*. 58: 15.1688-1713.
2. Adamiec, J., and Kalemba, D. 2006. Analysis of microencapsulation ability of essential oils during spray drying. *J. of Drying Technology*. 24: 9.1127-1132.
3. Amamcharla, J., and Metzger, L. 2014. Modification of the ferric reducing antioxidant power (FRAP) assay to determine the susceptibility of raw milk to oxidation. *International Dairy Journal*. 34: 2. 177-179.
4. Balasubramani, P., Viswanathan, R., and Vairamani, M. 2013. Response surface optimisation of process variables for microencapsulation of garlic (*Allium sativum* L.) oleoresin by spray drying. *J. of Biosystems Engineering*. 114: 3. 205-213.
5. Barrow, C., Wang, B., Adhikari, B. and Liu, H. 2013. Spray drying and encapsulation of omega-3 oils. Pp: 194-225. DOI: 10.1533/9780857098863 .2.194
6. Benzie, I.F., and Strain, J.J. 1996. The ferric reducing ability of plasma (FRAP) as a measure of “antioxidant power”: the FRAP assay. *J. of Analytical Biochemistry*. 239 (1): 70-76.
7. Bhatt, A., and Patel, V. 2013. Antioxidant activity of garlic using conventional extraction and in vitro gastrointestinal digestion. *J. of Free Radicals and Antioxidants*. 3: 1. 30-34
8. Buffo, R.A., and Reineccius, G.A. 2001. Comparison among assorted drying processes for the encapsulation of flavors. *J. of Food Science and Nutrition*. 26: 1. 58-67.

شده شامل ویژگی‌های مواد استفاده شده به عنوان دیواره (۱۰، ۱۲)، شرایط پودری شدن در نازل و اندازه قطرات خروجی از آن (۲۸) و سرعت و یکنواختی فرآیند خشک‌شدن در تمام قسمت‌های ذره می‌باشد (۲۰، ۲۲، ۳۳). ایجاد چنین حفره‌هایی به عنوان ویژگی‌های میکروکپسول‌های تهیه شده با روش خشک‌کن پاششی ذکر شده است (۱۷).

ارزیابی حسی: در تحلیل نتایج حاصل از ارزیابی حسی کپسول‌های تولید شده براساس آزمون U Mann-Whitney میانگین رتبه نمونه S.D. برابر ۲۹/۶۳ و نمونه F.D. برابر ۱۷/۳۷ بدست آمد. همان‌گونه که از نتایج پیداست نمونه خشک‌شده با خشک‌کن پاششی دارای مقبولیت بالاتری نسبت به نمونه لیوفیلیزه بود. اختلاف آماری معنی‌داری بین دو نمونه مشاهده گردید ( $P < 0.05$ ).

می‌توان نتیجه‌گیری نمود که نمونه‌های خشک‌شده با خشک‌کن پاششی علیرغم دارا بودن ویژگی‌های آنتی‌اکسیدانی بیشتر، نمونه بهتری نیز از لحاظ ارزیابی

9. Chatterjee, D., and Bhattacharjee, P. 2015. Encapsulation of colour from peels of eggplant in calcium alginate matrix. J.of Characterisation and food application Nutrafoods. 14:87-96.
10. Cho, Y.H., Shim, H., and Park, J. 2003. Encapsulation of fish oil by an enzymatic gelation process using transglutaminase cross-linked proteins. J. of Food Science. 68: 9. 2717-2723.
11. Ciobanu, A., Landy, D., Fourmentin, S., 2013. Complexation efficiency of cyclodextrins for volatile flavor compounds. J. of Food Research International. 53: 1. 110-114.
12. Danviriyakul, S., McClements, D. J., Decker, E.A., Nawar, W.W., and Chinachoti, P. 2002. Physical stability of spray-dried milk fat emulsion as affected by emulsifiers and processing conditions. J. of Food Science. 67: 6. 2183-2189.
13. Desobry, S.A., Netto, F.M., and Labuza, T.P. 1997. Comparison of Spray-drying, drumdrying and freeze-drying for b-carotene encapsulation and preservation. J. of Food Science. 62: 6.1158-1162.
14. Donsi, F., Annunziata, M., Sessa, M., and Ferrari, G. 2011. Nanoencapsulation of essential oils to enhance their antimicrobial activity in foods. LWT-Food Science and Technology. 44: 9. 1908-1914.
15. Fenfang, L., Qiao, L., Shuanggen, W., and Zhijian, T. 2017. Salting-out extraction of allicin from garlic (*Allium sativum* L.) based on ethanol/ammonium sulfate in laboratory and pilot scale. J. of Food Chemistry. 217: 15.91-97.
16. Fratianni, F., Ombra,M.N., Cozzolino, A., Riccardi, R., Spigno, P., Tremonte, P., and Coppola, R.F. 2016. Phenolic constituents, antioxidant, antimicrobial and antiproliferative activities of different endemic Italian varieties of garlic (*Allium sativum* L.). J. of Functional Foods. 21: 1.240-248.
17. Gol Mohammad, F., Ikani, M.H., Shekarollahzadeh, S., and Sadrpushan, AR. 2016. Determination of Optimum Conditions of Microcapsulation of Pomegranate Oil with Spray Drying Technology. J. of Modern Food Technology. 3: 11. 25-38.
18. Golluce, M., Sahin, F., Sokmen, M., Ozer, H., Daferera, D., Sokmen, A., Polissiou, M., Adiguzel, A., and Ozken, H. 2007. Antimicrobial and antioxidant properties of the essential oils and methanol extract from *Mentha longifolia* L. ssp. *longifolia*. J. of Food Chemistry. 103: 1.1449-1456.
19. Jafari, S.M., Assadpoor, E., He, Y.,and Bhandari, B. 2008. Encapsulation efficiency of food flavors and oils during spray drying. J. of Drying Technology. 26: 7. 816-835. (In Persian)
20. Kagami, Y., Sugimura, S., Fujishima, N. Matsuda, K., Kometani, T., and Matsumura, Y. 2003. Oxidative stability, structure, and physical characteristics of microcapsules formed by spray drying of fish oil with protein and dextrin wall materials. J. of food science. 68: 7. 2248-2255.
21. Kaushik, V., and Roos, Y.H. 2007. Limonene encapsulation in freeze-drying of gum arabic-sucrose-gelatin systems. LWT-Food Science and Technology. 40: 8.1381-1391.
22. Khoshtinat, Kh., Barzegar, M., Sahari, M.A., and Hamidi, Z. 2017. Encapsulation of Iranian Garlic Oil with  $\beta$ -cyclodextrin:Optimization and its Characterization. J. of Agricultural Science and Technology. 19: 1. 97-111.
23. Klinkesorn, U., Sophanodora, P., Chinachoti, P., A.Decker, E., and McClements, D.J. 2006. Characterization of spray- dried tuna oil emulsified in two-layered interfacial membranes prepared using electrostatic layer-by-layer deposition. J. of Food Research International. 39: 1. 449-457.
24. Kuck, L.S., and Norena, C.P.Z. 2016. Microencapsulation of grape (*Vitis labrusca* var. Bordo) skin phenolic extract using gum Arabic, polydextrose, and partially hydrolyzed guar gum as encapsulating agents. J. of Food Chemistry. 194: 1. 569-576.
25. Loghmanifar,S., Roozbeh nasiraei,L., Nouri, H.R., and Jafarian, S. 2019, Evaluation of nutritional value of garlic and its application in health, 4th

- International Congress on engineering, technology and applied sciences, New Zealand-Auckland. (In Persian)
26. Maleki, M., Ariaaii, P., and Fallah, H. 2015. Effects of Celery Extracts on the Oxidative Stability of Canola Oil Under Thermal Condition: Antioxidant Effect of Celery Extract on Canola Oil". *J. of Food Processing and Preservation.* 40: 3. 112-120
27. Mazloom, A., Hashemi Ravan, M., Farhadyar, N., and Erfani, H. 2014. Characteristics of Coated Blueberries Nanoparticles by Inulin and  $\beta$ -Cyclodextrin. *J. of Food Technology Research.* 24: 3. 237-246
28. Moreau, D.L. and Rosenberg, M. 1996. Oxidative stability of anhydrous milk fat microencapsulated in whey proteins. *J. of Food Science.* 61: 1. 39-43.
29. Najafi, M. 2010. Application of Ultrasound in the Emulsion Production and Microencapsulation of Effective Compounds of Cardamom Oil. Doctoral dissertation. Ferdowsi University of Mashhad. 1: 90. 160-158. (In Persian)
30. Petropoulos, S., Fernandes, A., Barros, L., Ana Ceric, Sokovic, M., and Ferreira, I. 2017. Antimicrobial and antioxidant properties of various Greek garlic genotypes. *J. of Food Chemistry.* 245: 15. 7-12.
31. Piletti, R., Zanetti, M., Jung, G., Mello, J., Dalcanton, F., Soares, C., Riella, H., and Fiori, M. 2019. Microencapsulation of garlic oil by  $\beta$ -cyclodextrin as a thermal protection method for antibacterial action. *J. Materials Science & Engineering. C.* 94: 1.139-149.
32. Loghmanifar, S., Roozbeh Nasiraei, L., Nouri, H., Jafarian, S. 2020. Effects of Different Extraction Methods on Antioxidant Properties and Allicin Content of Garlic. *J. of food science and hygiene.* 1: 1.16-25
33. Pinelo, M., Del Fabbro, P., Marzocco, L., Nunez, M.J., and Vicoli, M.C. 2005. Optimization of continuous phenol extraction from *Vitis vinifera* byproducts. *J. of Food Chemistry.* 92: 1.109-117.
34. Robert, P., Gorena, T., Romero, N., Sepulveda, E., Chavez, J., and Saenz, C. 2010, Encapsulation of polyphenols and anthocyanins from pomegranate (*Punica granatum*) by spray drying. *International Journal of Food Science and Technology.* 45: 13.86-94.
35. Roos, Y.H. 1995. Phase transitions in foods. CA: Academic Press. San Diego.
36. Rosenberg, M., Kopelman, I. J. and Talman, Y. 1985. A scanning electron microscopy study of microencapsulation. *J. of Food Science.* 50: 1. 139-44.
37. Loghmanifar, S., Roozbeh Nasiraei, L., Nouri, H., and Jafarian, S. 2020. Comparison of Fresh and Aged Garlic Extracts in Terms of Antioxidative Power and Allicin Content, *Journal of Medicinal Plants and By-products.* DOI: 10.22092/jmpb.2020.342409.1193
38. Shahwar, D., Raza, M.A., Bukhari, S. and Bukhari, G. 2012. "Evaluation of antibacterial properties of essential oils from clove and eucalyptus", *Asian Pacific. J. of Tropical Biomedicine.* 2: 3. S1633-S1636.
39. Tan, L.H., Zhang, D., Yu, B., Zhao, S.P., Wang, J.W., Yao, L., and Cao, W.G. 2015. Antioxidant activity and optimization of extraction of polysaccharide from the roots of *Dipsacus asperoides*. *Int. J. of Biological Macromolecules.* 81: 1. 332-339.
40. Tavares da Silva, F., Furtado da Cunha, K., Martins Fonseca, L., Dias Antunes, M., Mello El Halal, Sh., Maria Fiorentin, A., Rosa Zavareze, E., and Renato Guerra Dias, A. 2018. Action of ginger essential oil (*Zingiber officinale*) encapsulated in proteins ultrafine fibers on the antimicrobial control in situ, *International J. of Biological Macromolecules.* 118: 1.107-115
41. Tsai, Y., Tsai, H.H., Wub, C.P. and Tsai, F.J. 2010. Preparation, characterization and activity of the inclusion complex of Paeonol with  $\beta$ -cyclodextrin. *J. of Food Chemistry.* 120: 1. 837-841.
42. Venturini, C.V., Nicolini, J., Machado, C., and Machado, V.G. 2008. Propriedades e aplicações recentes das ciclodextrinas. *J. of Quim. Nova.* 31: 2. 360-368.

- 43.Wang, J., Cao, Y., Sun, B., and Wang, C. 2011. Physicochemical and release characterisation of garlic oil- $\beta$ -cyclodextrin inclusion complexes. *J. of Food Chemistry.* 127: 1.1680-1685.
- 44.Wang, Y., Jia, J., Shao, J., Shu, X., Ren, X., Wu, B., and Yan, Z. 2018. Preservative effects of allicin microcapsules on daily foods. *LWT -Food Science and Technology.* 98: 1. 225-230
- 45.Yoshii, H., Soottitantawat, A., Liu, X.D., Atarashi, T., Furuta, T., and Aishima, S. 2001. Flavor release from spray dried maltodextrin/gum arabic or soy matrices as a function of storage relative humidity. *Innovative Food Science and Emerging Technologies.* 2: 1. 55-61.
- 46.Zhang, W., Li, X., Yu, T., Yung, L., Rao,G., Li, D. and Mu, C. 2015. Preparation physicochemical characterization and release behavior of the inclusion complex of trans-anethol and  $\beta$ -cyclodextrin. *J. of Food Research International.* 74: 1.55-62
- 47.Zhu, G., Xiao, Z., Zhou, R., and Zhu, R. 2014. Study of production and pyrolysis characteristics of sweet orange flavor  $\beta$ -cyclodextrin inclusion complex. *J. of Carbohydrate Polymers.* 105: 25.75-80

## Effect of freeze- and spray-drying on antioxidant and morphological properties of garlic extract microcapsules

S. Loghmanifar<sup>1\*</sup>, L. Roozbeh Nasiraei<sup>1</sup>, H. Nouri<sup>2</sup>, S. Jafarian<sup>1</sup>

<sup>1</sup>Department of Food Science and Technology, Islamic Azad University, Noor Branch, Noor, Iran

<sup>2</sup>Department of Immunology, Babol University of Medical Sciences, Babol, Iran

Received: 2019/12/26; Accepted: 2020/04/14

### Abstract

**Background and objectives:** Epidemiological studies have been able to establish a link between food intake with plant origin and a range of health benefits. Sulfur-containing compounds in garlic family plants are one of the most important plant bioactive substances present in the diet and have health benefits. Allicin in garlic can be used as a dietary supplement to prevent many diseases. Moreover, it is a volatile, unstable and reactive compound that can easily stimulate the stomach mucus in humans. However, the unpleasant odor of these compounds affect consumers' decision regarding garlic consumption. Encapsulation is one of the ways to cover the aroma of garlic and preserve its effective compounds. In this study, garlic extract was encapsulated with  $\beta$ -cyclodextrin coating and porous starch by freeze- and spray-drying methods to protect its flavor and antioxidant properties.

**Materials and methods:** In this study,  $\beta$ -cyclodextrin porous starch were used as wall material and spray dehydrator and freeze dryers were used for micro-coating. The samples were evaluated for sensory evaluation, moisture content, antioxidant properties (DPPH free radical scavenging capacity, ferric reducing antioxidant power, and total phenol content), encapsulation efficiency, and morphology properties.

**Results:** The results showed that spray-dried samples retained the highest antioxidant properties and had the maximum encapsulation efficiency. The results of sensory evaluation also showed that this method had the best coverage in terms of flavor. Comparison of drying method on powder characteristics (shape, efficiency, antioxidant properties, and their moisture content) showed that the samples prepared by spray drying method had a spherical shape and lower moisture content than the obtained powder. Freeze drying (amorphous and asymmetric) had a higher microhardness efficiency and retained greater antioxidant properties.

**Conclusion:** The microcoating analysis of garlic extract by two spray and freeze drying methods using beta-cyclodextrin showed that its amount and efficiency depends not only on the concentration and content of the wall materials but on the microcoating process or methods. The specimens prepared by spray dryer had higher efficiency than the lyophilized powder and retained more antioxidant properties.

**Keywords:** Allicin, Encapsulation, Antioxidant, Spray drying, Freeze drying.

---

\*Corresponding author: loghmanifar\_s@yahoo.com